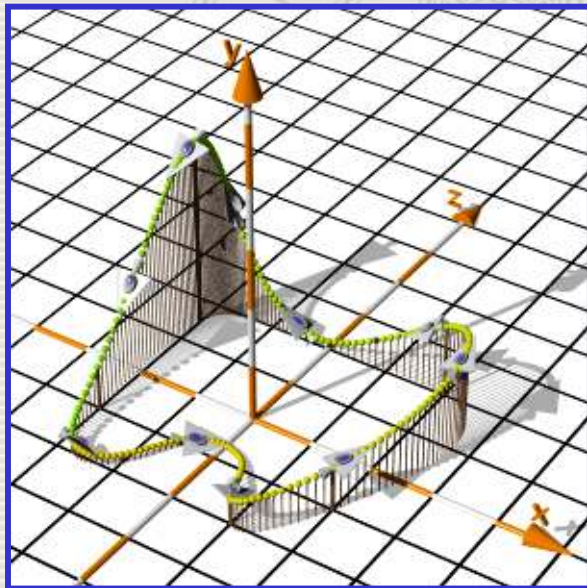
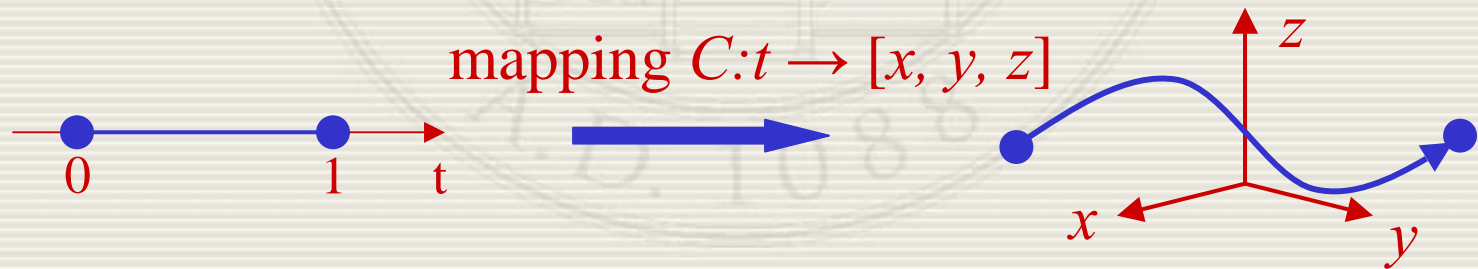


# Curve nella Computer Graphics



# Curve: che cosa sono?

- Definiamo uno spazio parametrico
  - 1D (per curve)
- Definiamo un mapping fra lo spazio dei parametri e lo spazio 2D o 3D
  - una funzione che prende valori parametrici (scalari) e restituisce punti 2D/3D
- Il risultato è una curva in forma parametrica (funzione vettoriale)

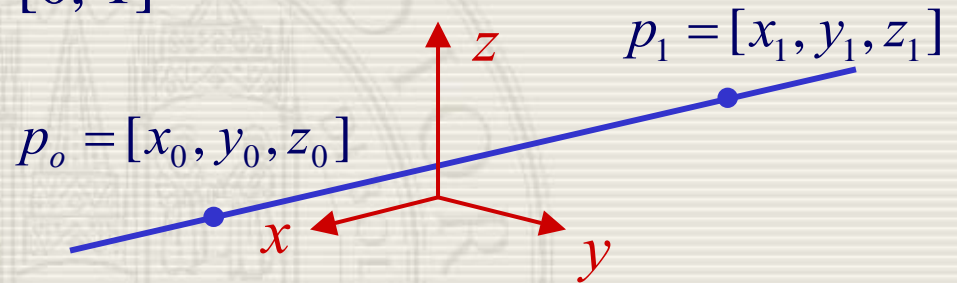


# Curve in forma parametrica

- Abbiamo già visto una retta 2D in forma parametrica; e in 3D?

$$p(t) = (1-t) p_0 + t p_1 \quad t \in [0, 1]$$

$$\begin{cases} x = x_0 t + (1-t)x_1 \\ y = y_0 t + (1-t)y_1 \\ z = z_0 t + (1-t)z_1 \end{cases}$$



- Si noti che  $x$ ,  $y$  e  $z$  sono determinati ciascuno da una espressione che coinvolge:
  - il parametro  $t$
  - le coordinate dei due punti assegnati  $p_0$  e  $p_1$

Un segmento retto è un esempio di curva 3D in forma parametrica

# Curve 3D in forma parametrica

Curva in forma parametrica:

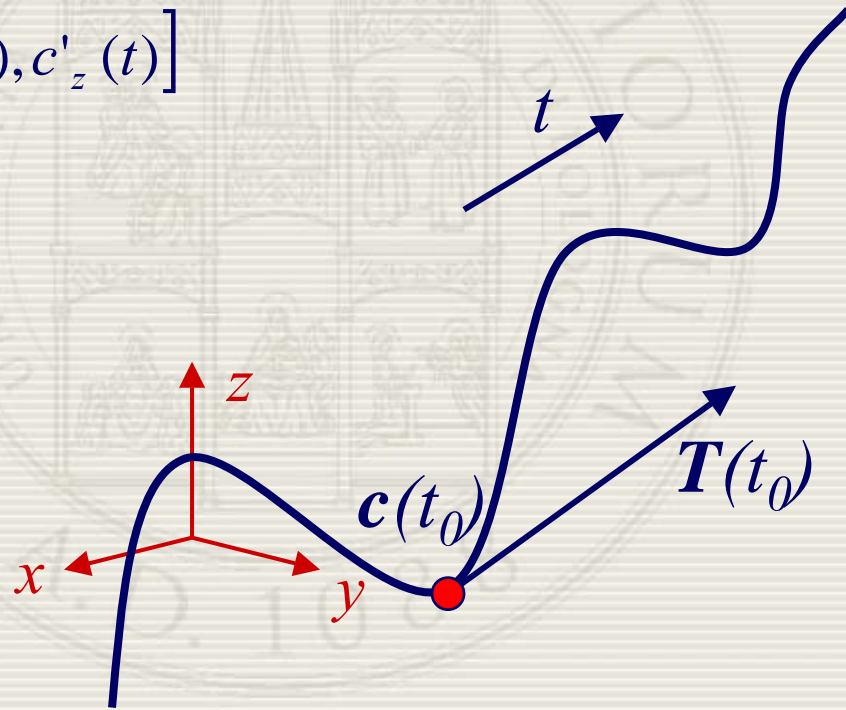
$$c(t) = [c_x(t), c_y(t), c_z(t)] \quad t \in [0,1]$$

Vettore Tangente alla curva:

$$c'(t) = [c'_x(t), c'_y(t), c'_z(t)]$$

Versore Tangente:

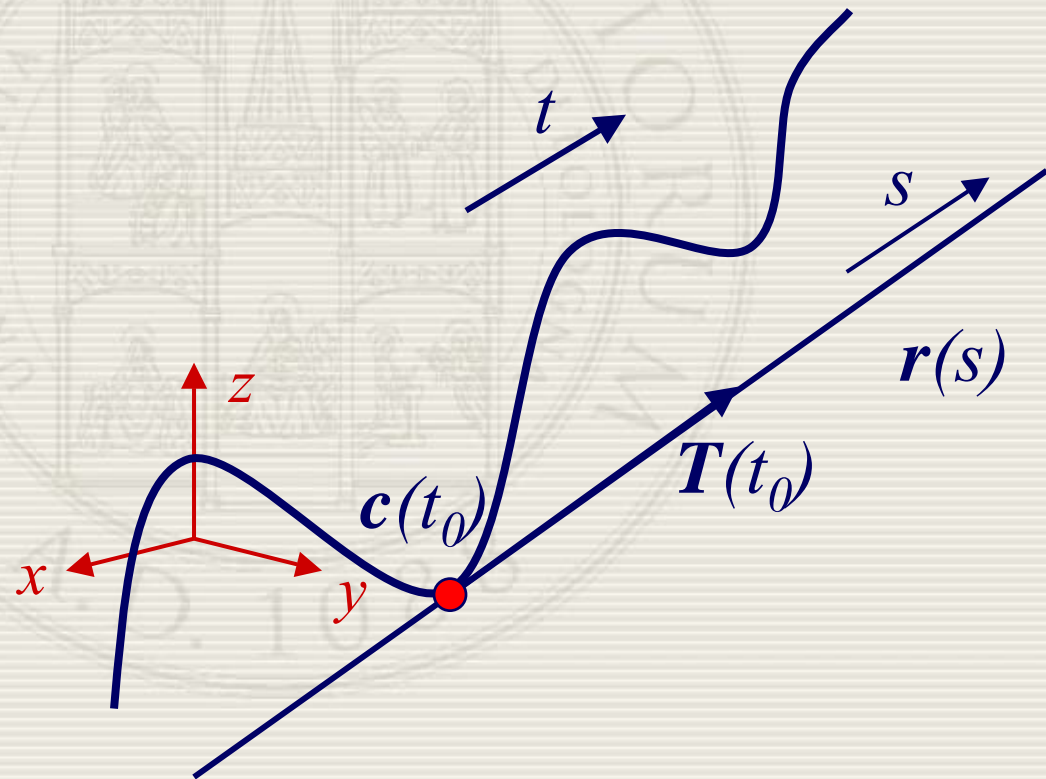
$$T(t) = \frac{c'(t)}{\|c'(t)\|}$$



# Retta Tangente alla curva

Retta tangente  $r(s)$  alla curva  $c(t)$  in  $t_0$  :

$$r(s) = c(t_0) + sT(t_0) \text{ con } s \in \mathbb{R}$$



# Esempio 2D e 3D

$$c(t) = [\cos t, \sin t]$$

$$c'(t) = [-\sin t, \cos t]$$

$$T(t) = [-\sin t, \cos t]$$

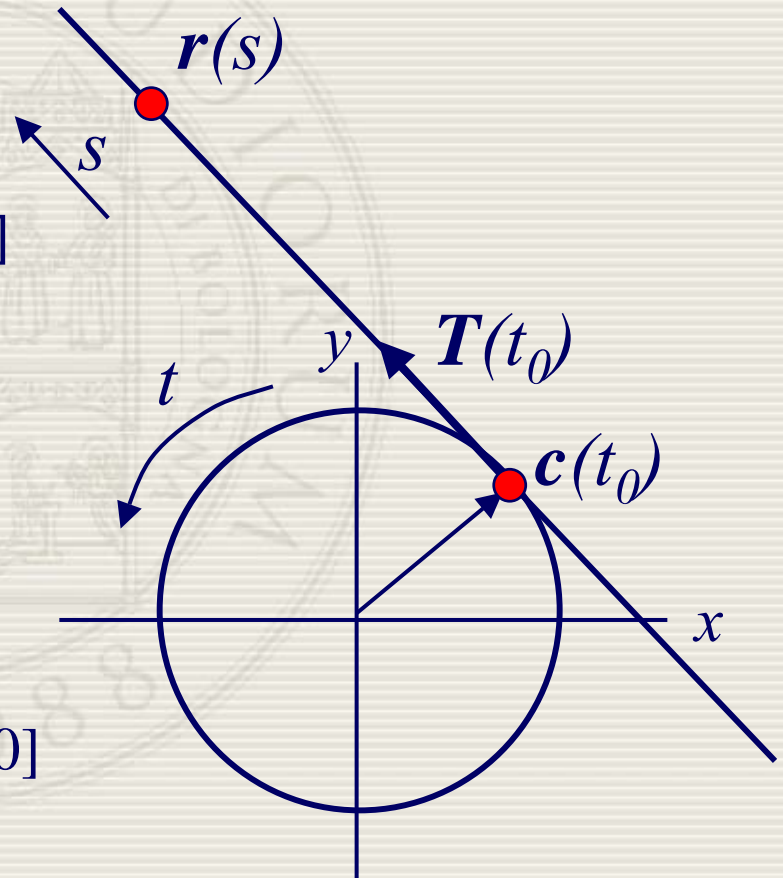
$$\begin{aligned} r(s) &= c(t_0) + sT(t_0) \\ &= [\cos t_0 - s \sin t_0, \sin t_0 + s \cos t_0] \end{aligned}$$

$$c(t) = [\cos t, \sin t, 0]$$

$$c'(t) = [-\sin t, \cos t, 0]$$

$$T(t) = [-\sin t, \cos t, 0]$$

$$\begin{aligned} r(s) &= c(t_0) + sT(t_0) \\ &= [\cos t_0 - s \sin t_0, \sin t_0 + s \cos t_0, 0] \end{aligned}$$



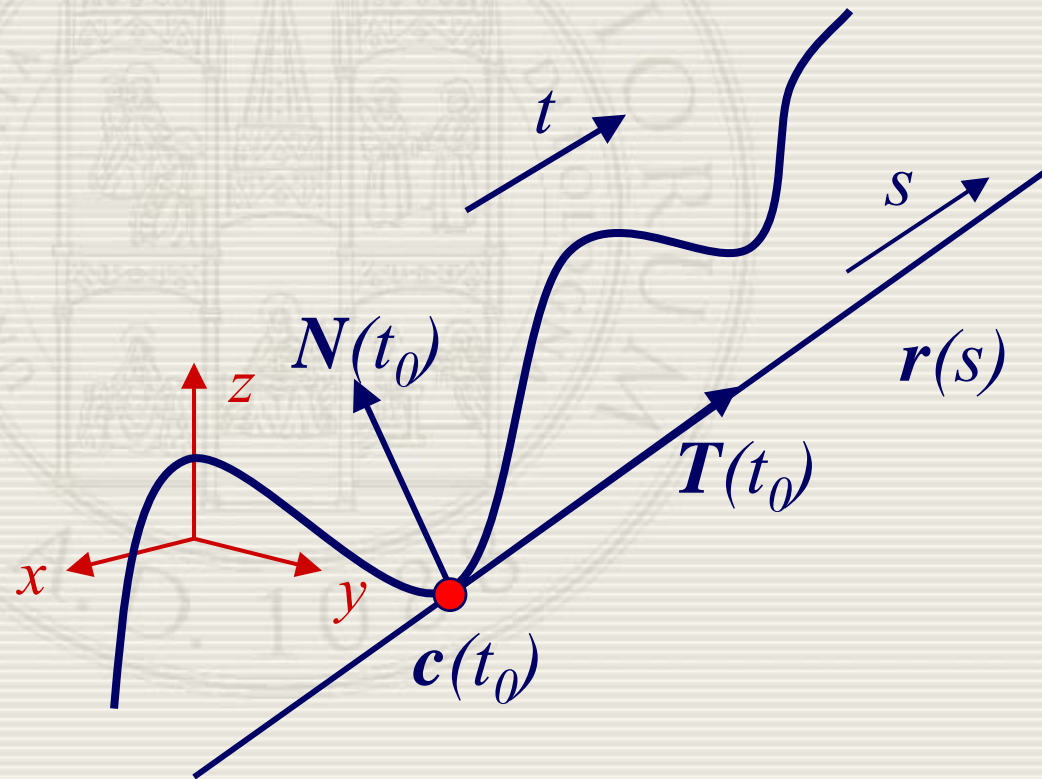


# Normale alla curva

Vettore normale alla curva  $c(t)$  in  $t_0$  :

$$\text{Sia } c''(t) = [c''_x(t), c''_y(t), c''_z(t)]$$

$$N(t) = \frac{T'(t)}{\|T'(t)\|}$$



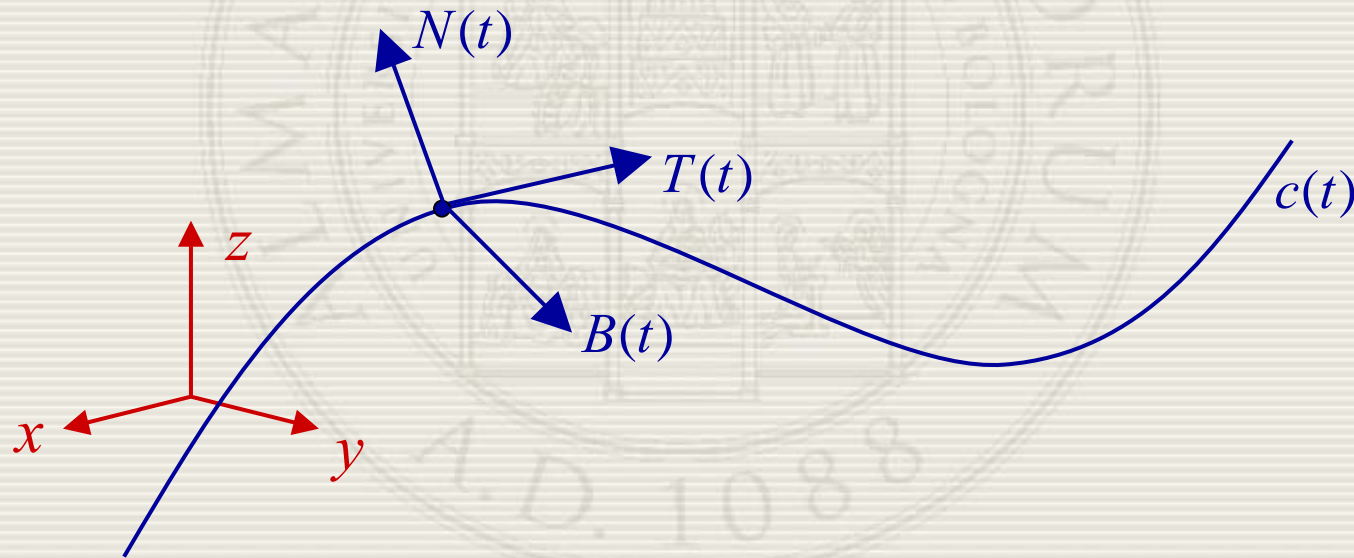
# Frenet Frame

- Tangente unitaria
- Normale unitaria
- Binormale

$$T(t) = \frac{c'(t)}{\|c'(t)\|}$$

$$N(t) = \frac{T'(t)}{\|T'(t)\|}$$

$$B(t) = T(t) \times N(t)$$

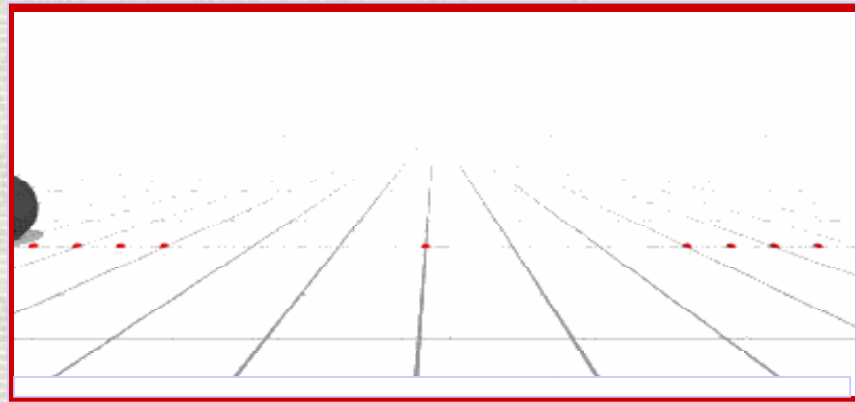
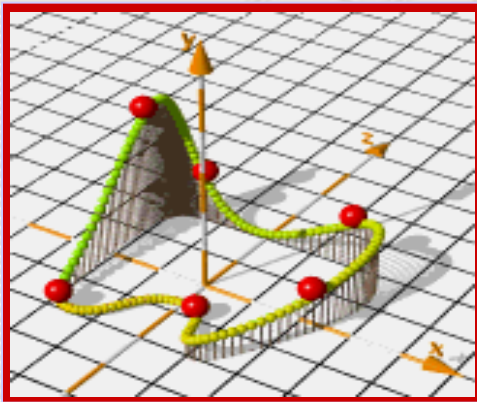


Fornisce un sistema di riferimento (frame) ortogonale in ogni punto della curva



# Utilità del Frenet Frame

- Movimento camera
- Movimento di un oggetto lungo un percorso
- Movimento con una certa regola



Problemi: il Frenet frame diviene instabile nei punti di flesso o non definito quando

$$T'(t) = 0$$

# Rappresentazione di forme: Curve 2D/3D

**Problema:** progettare una forma 2D o 3D matematicamente (modello matematico, modellazione geometrica)

**Soluzione:** si usa una funzione vettoriale a componenti polinomiali (spazio delle funzioni polinomiali); ma come?

1. Si specifichi una sequenza di punti  $\mathbf{p}_i$ ,  $i = 1, \dots, N$ , (detti *control-point*);
2. Si definisca una parametrizzazione 1D;
3. Si definisca un mapping polinomiale (curva in forma parametrica), smooth/fair che *interpoli* o *approssimi* i control-point.

# Curve di Bézier

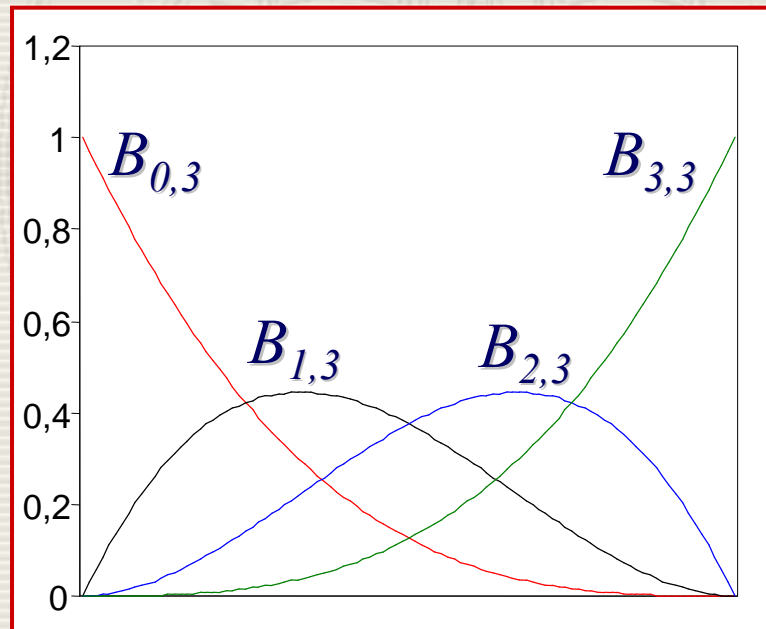
- Per lavorare nello spazio polinomiale dobbiamo scegliere una base di rappresentazione
- Differenti scelte di **funzioni base** permettono di rappresentare una stessa curva in modi differenti
  - La scelta di una base di funzioni è importante sia per questioni numeriche e computazionali, ma soprattutto perché i punti di controllo (i coefficienti) siano informativi sulla **forma della curva**
- Per questi motivi la scelta cade sulla base polinomiale nota come **base di Bernstein**;

Dati  $n + 1$  punti di controllo (CP)  $\mathbf{p}_i$  (o poligonale di controllo), la curva è definita come:

$$C(t) = \sum_{i=0}^n \mathbf{p}_i B_{i,n}(t) \quad t \in [0,1] \quad \text{dove} \quad B_{i,n}(t) = \binom{n}{i} t^i (1-t)^{n-i}$$

# Curve di Bézier

- Le funzioni  $B_{i,n}$  sono i *polinomi base di Bernstein* di grado  $n$  e sono dette *blending functions*; sono non negative e la loro somma vale 1.



# Curve di Bézier

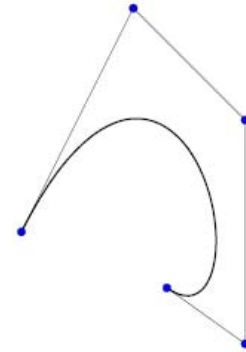
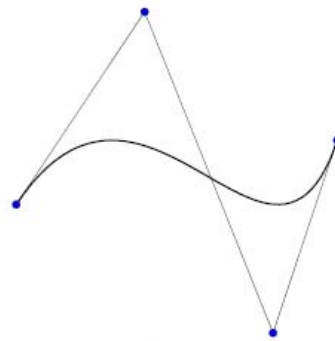
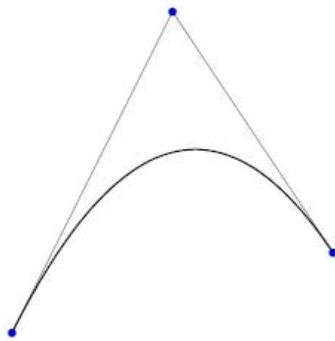
$$C(t) = \sum_{i=0}^n \mathbf{p}_i B_{i,n}(t) \quad t \in [0,1]$$

$n=2$

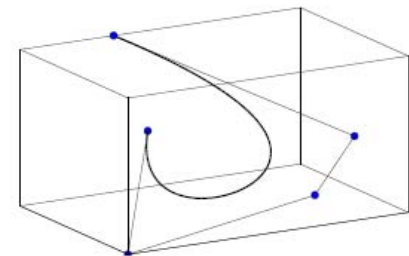
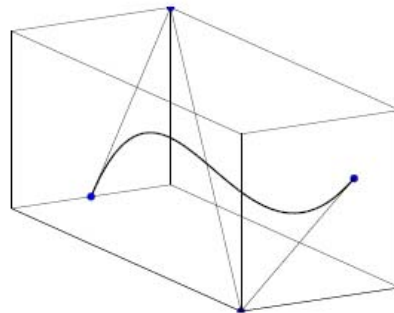
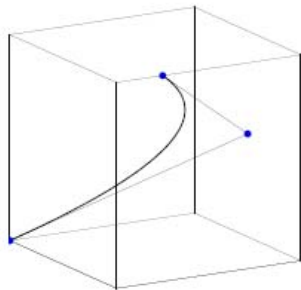
$n=3$

$n=4$

$\mathbf{p}_i \in \mathbb{R}^2$



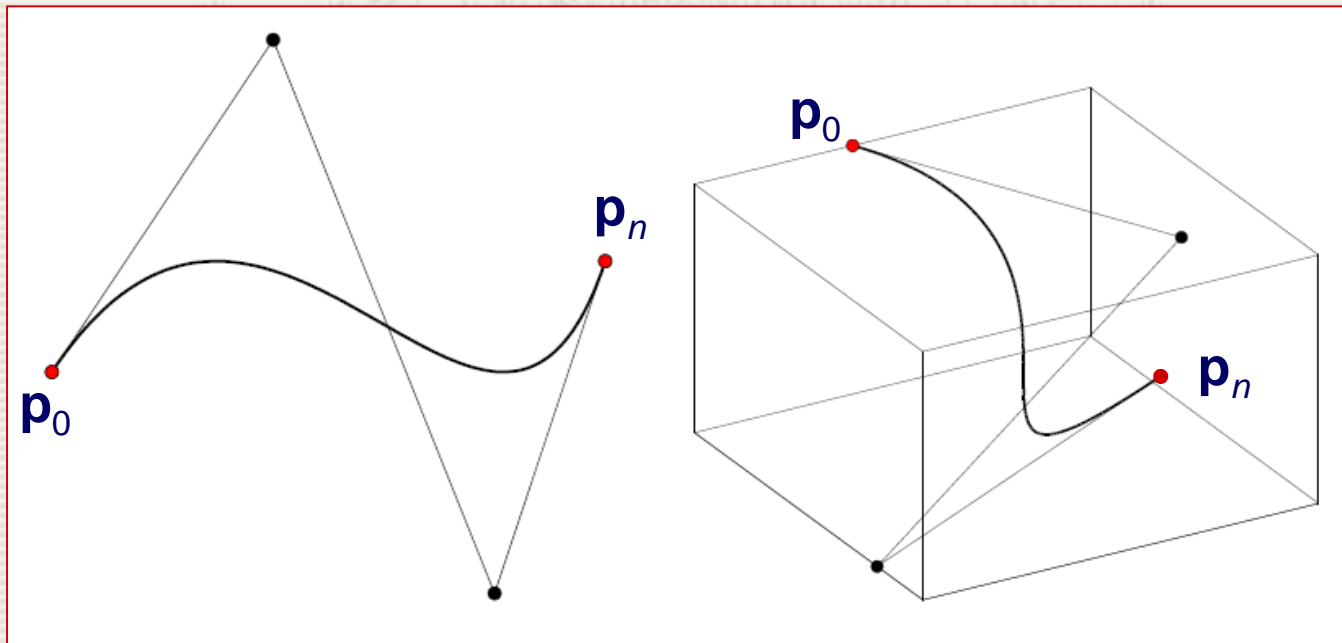
$\mathbf{p}_i \in \mathbb{R}^3$



# Proprietà delle Curve di Bézier

- La curva inizia dal primo punto di controllo e finisce nell'ultimo;
- La tangente alla curva nel primo punto ha la stessa direzione del primo segmento della poligonale di controllo;
- La tangente nell'ultimo punto ha la stessa direzione dell'ultimo segmento della poligonale di controllo;

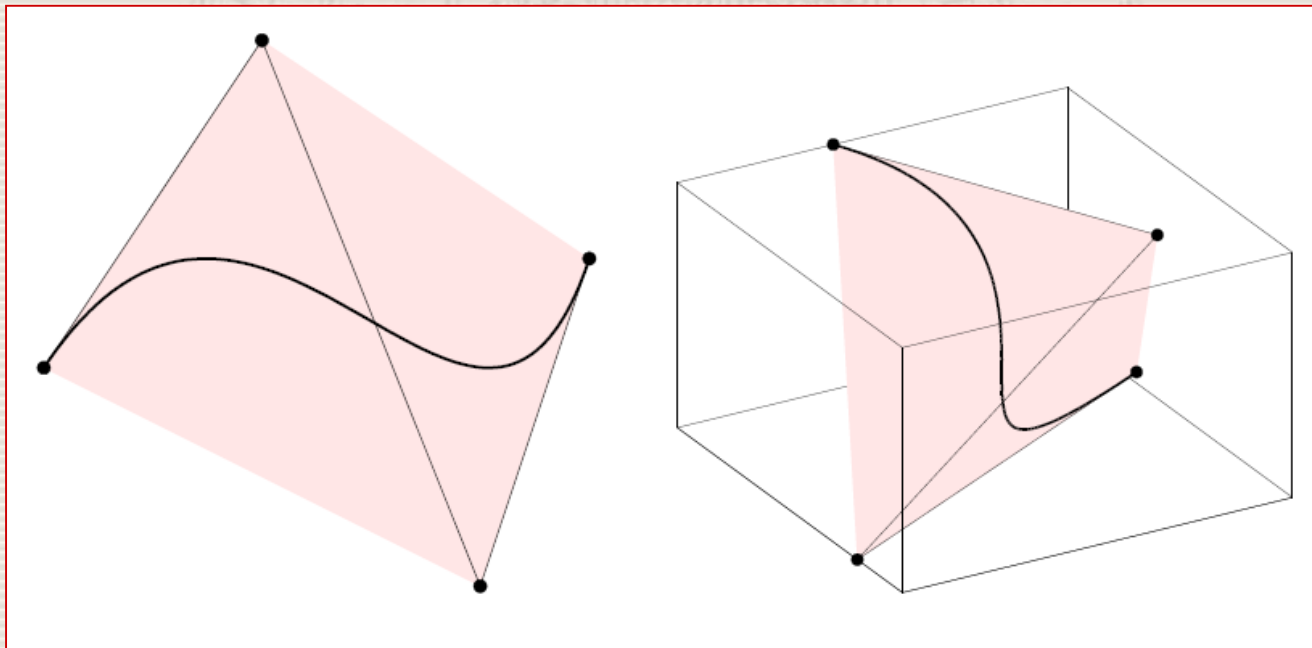
$$\begin{aligned} C(0) &= \mathbf{p}_0 & C(1) &= \mathbf{p}_n \\ C'(0) &= n(\mathbf{p}_1 - \mathbf{p}_0) & C'(1) &= n(\mathbf{p}_n - \mathbf{p}_{n-1}) \end{aligned}$$





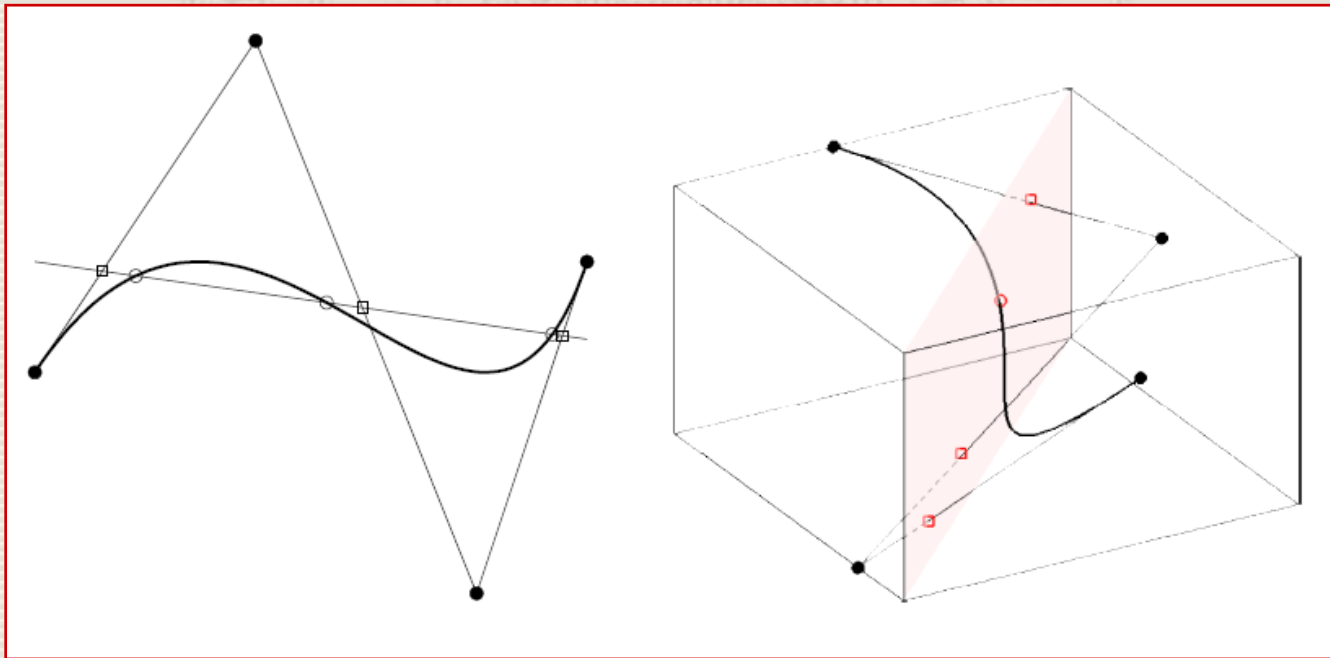
# Proprietà delle Curve di Bézier

- La curva giace internamente al guscio convesso definito dai punti di controllo;



# Proprietà delle Curve di Bézier

- $C(t)$  è approssimante in forma della poligonale di controllo;
- $C(t)$  è invariante per trasformazioni affini; in particolare per traslazione, scala, rotazione e deformazione lineare (shear);



# Le Curve di Bézier e de Casteljau

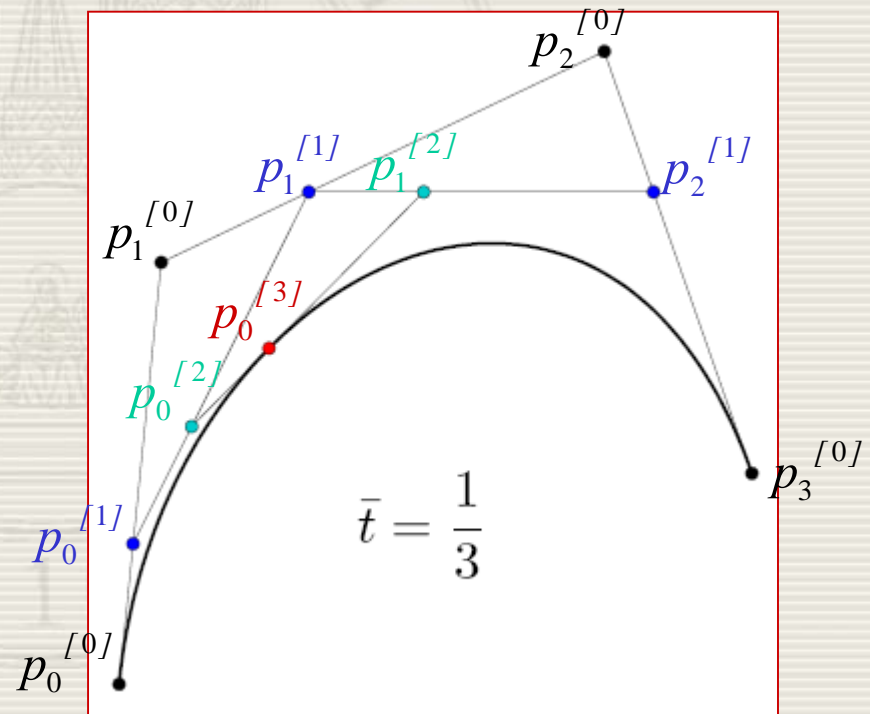
Il matematico francese de Casteljau, negli anni '60, diede una definizione di curva di Bézier basata su "corner cutting" successivi:

$$p_i^{[k]}(t) = (1-t)p_i^{[k-1]}(t) + tp_{i+1}^{[k-1]}(t) \quad t \in [0,1]$$

dove  $k = 1, \dots, n$   
 $i = 0, \dots, n-k$

con  $p_i^{[0]}(t) = p_i$   
 $i = 0, \dots, n$

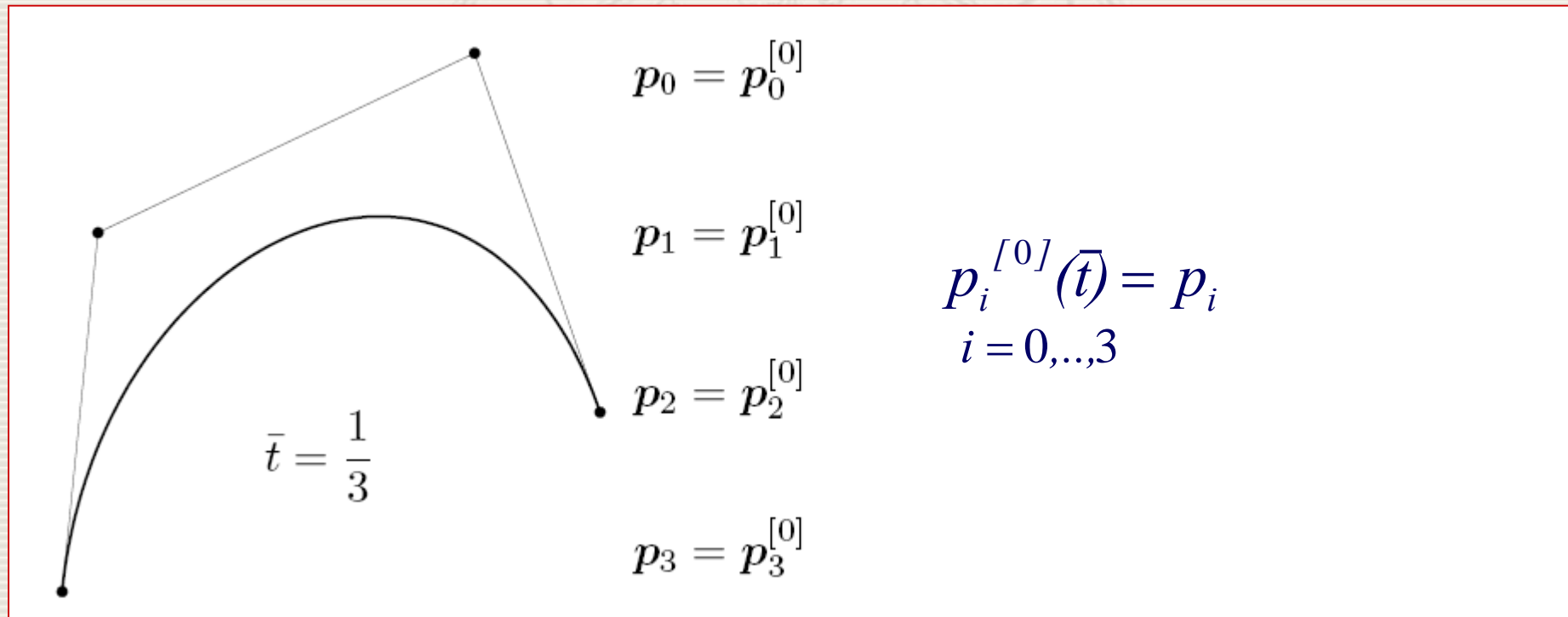
Questa definizione è un algoritmo numericamente stabile per il calcolo delle curve di Bézier.



Es.  $n=3, k=3$

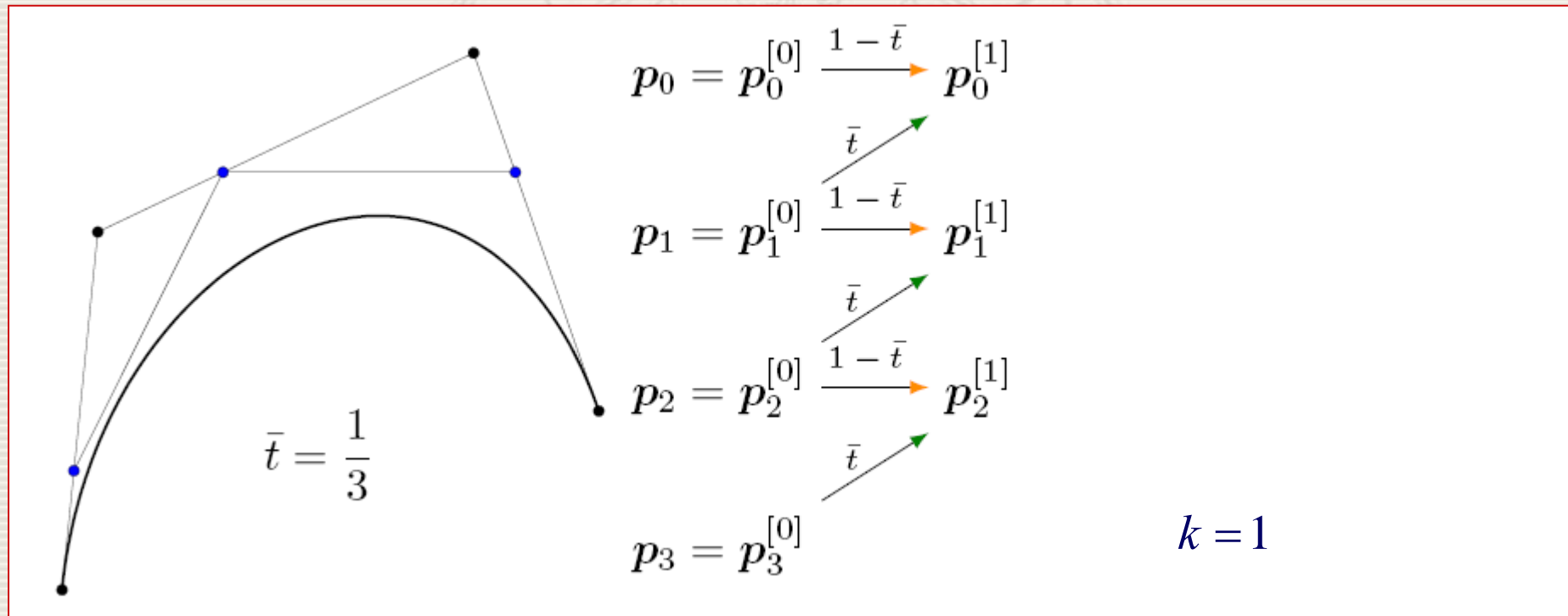
# Le Curve di Bézier e de Casteljau

$$p_i^{[k]}(t) = (1-t)p_i^{[k-1]}(t) + tp_{i+1}^{[k-1]}(t) \quad t \in [0,1]$$



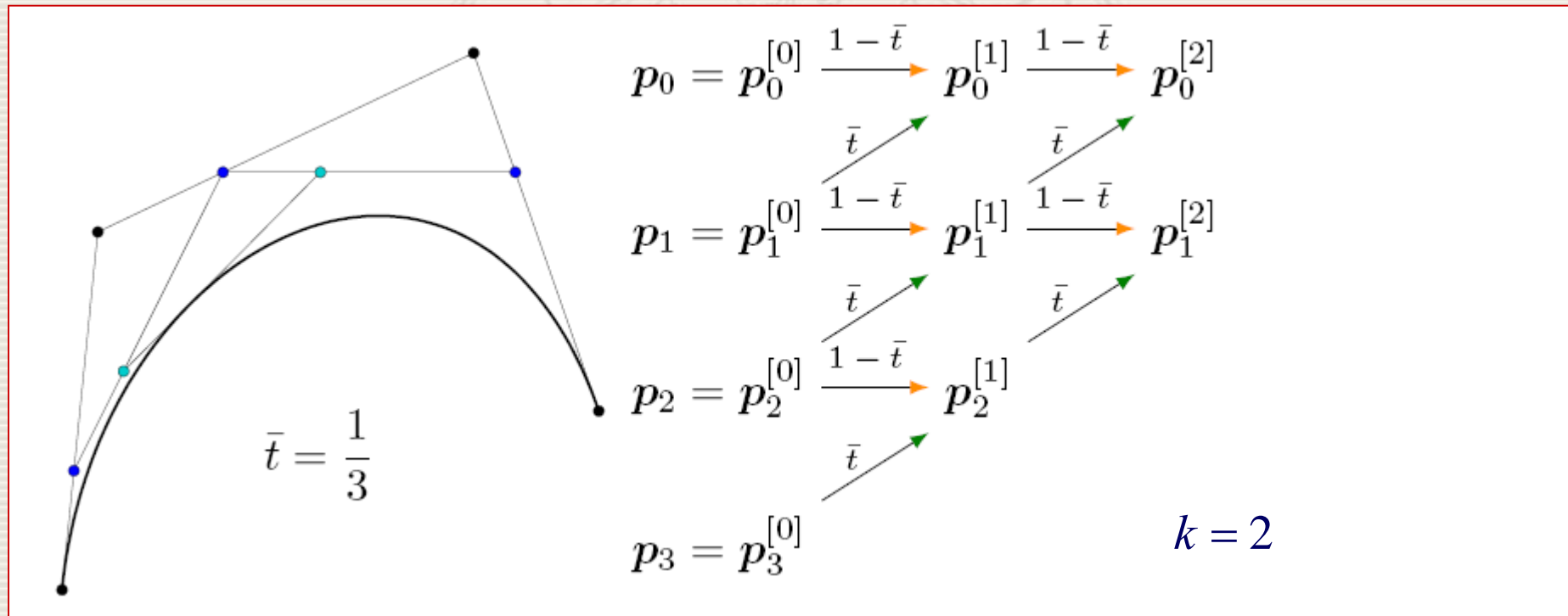
# Le Curve di Bézier e de Casteljau

$$p_i^{[k]}(t) = (1-t)p_i^{[k-1]}(t) + tp_{i+1}^{[k-1]}(t) \quad t \in [0,1]$$



# Le Curve di Bézier e de Casteljau

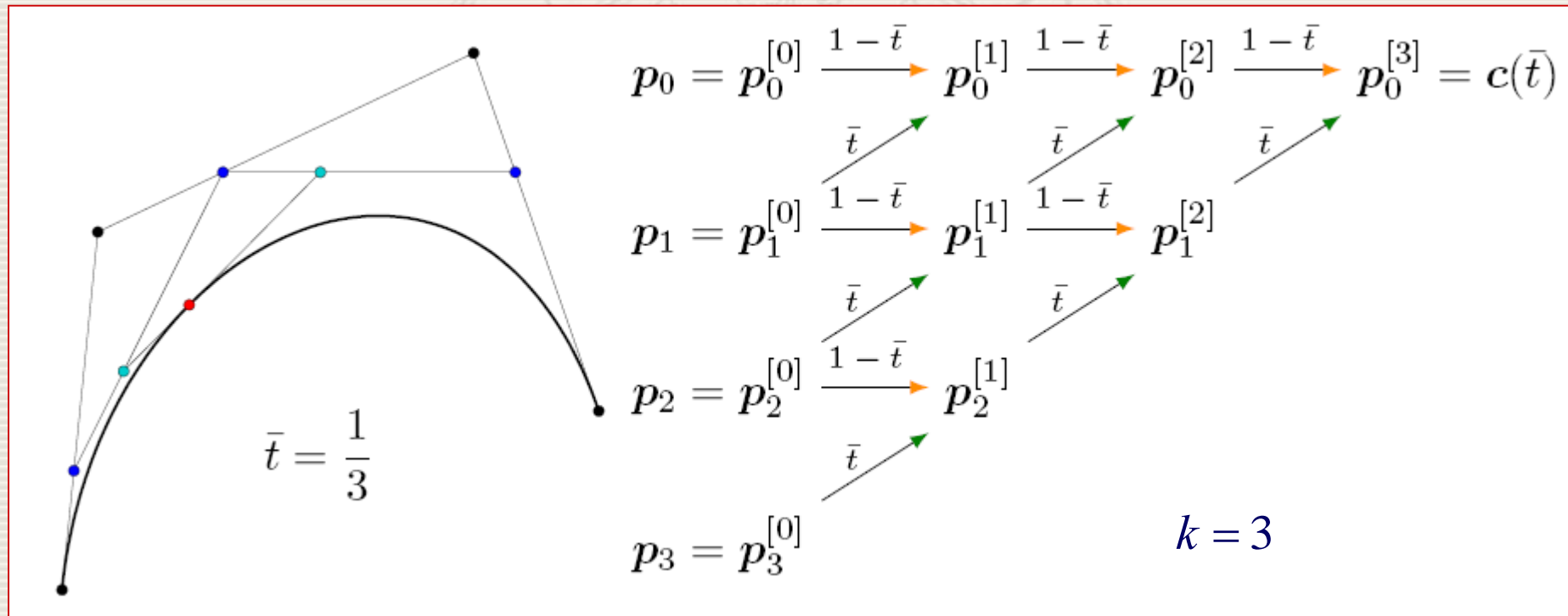
$$p_i^{[k]}(t) = (1-t)p_i^{[k-1]}(t) + tp_{i+1}^{[k-1]}(t) \quad t \in [0,1]$$





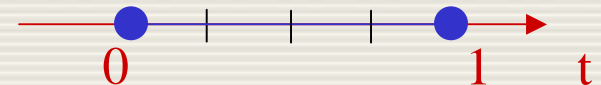
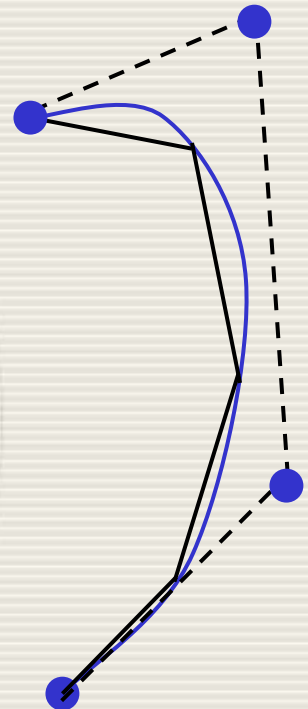
# Le Curve di Bézier e de Casteljau

$$p_i^{[k]}(t) = (1-t)p_i^{[k-1]}(t) + tp_{i+1}^{[k-1]}(t) \quad t \in [0,1]$$



# Rendering Curve di Bézier

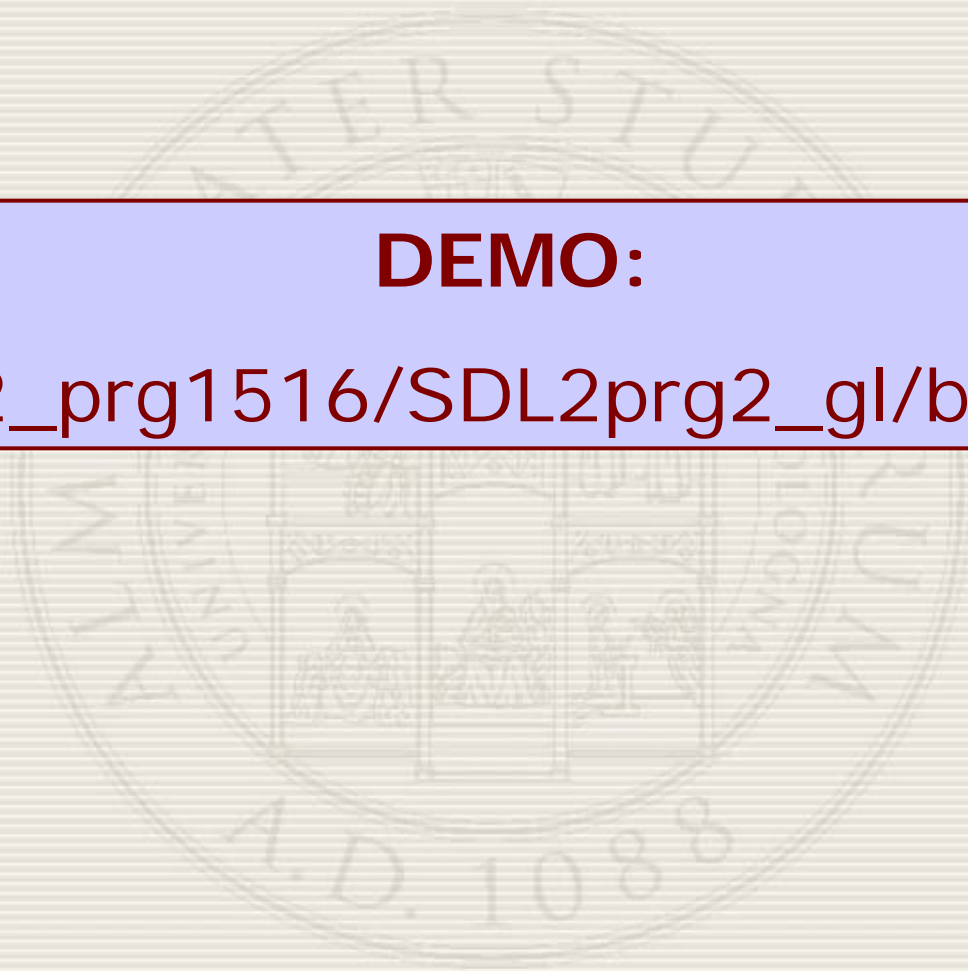
- Si valuti la curva in un numero fissato di valori parametrici e si disegni la polyline definita da questi punti della curva
- **Vantaggi:**
  - molto semplice
- **Svantaggi:**
  - Costoso per valutare la curva in molti punti
  - Non è facile determinare in quanti valori valutare e dove valutare lungo la curva
  - Non è facile renderlo adattivo; in particolare è difficile misurare la distanza della polyline dalla curva.



# Codice di Esempio

**DEMO:**

SDL2\_prg1516/SDL2prg2\_gl/bezie3d



# Esempio

Vogliamo progettare un moto rettilineo di un corpo da una posizione  $Q_0$  ad una  $Q_1$ , con velocità iniziale  $V_0$  e finale  $V_1$ , in un tempo di 5 secondi, nella forma di Bezier. Sarà:

$$C(t) = \sum_{i=0}^3 \mathbf{p}_i B_{i,3}(t) \quad t \in [0,5]$$

dove

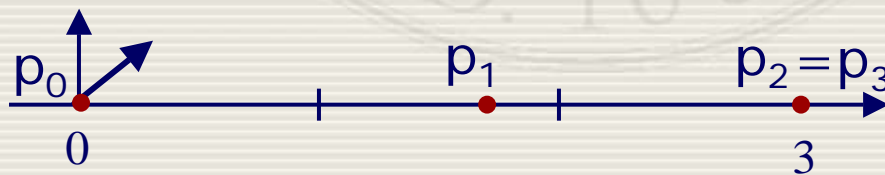
$$Q_0 = C(0) = \mathbf{p}_0 \quad Q_1 = C(5) = \mathbf{p}_3$$

$$V_0 = C'(0) = 3/5(\mathbf{p}_1 - \mathbf{p}_0) \quad V_1 = C'(5) = 3/5(\mathbf{p}_3 - \mathbf{p}_2)$$

Sia  $Q_0 = (0,0,0)$ ,  $Q_1 = (3,0,0)$ ,  $V_0 = (1,0,0)$ ,  $V_1 = (0,0,0)$ , allora

$$\mathbf{p}_0 = (0,0,0), \quad \mathbf{p}_1 = \mathbf{p}_0 + 5/3 V_0 = (5/3, 0, 0)$$

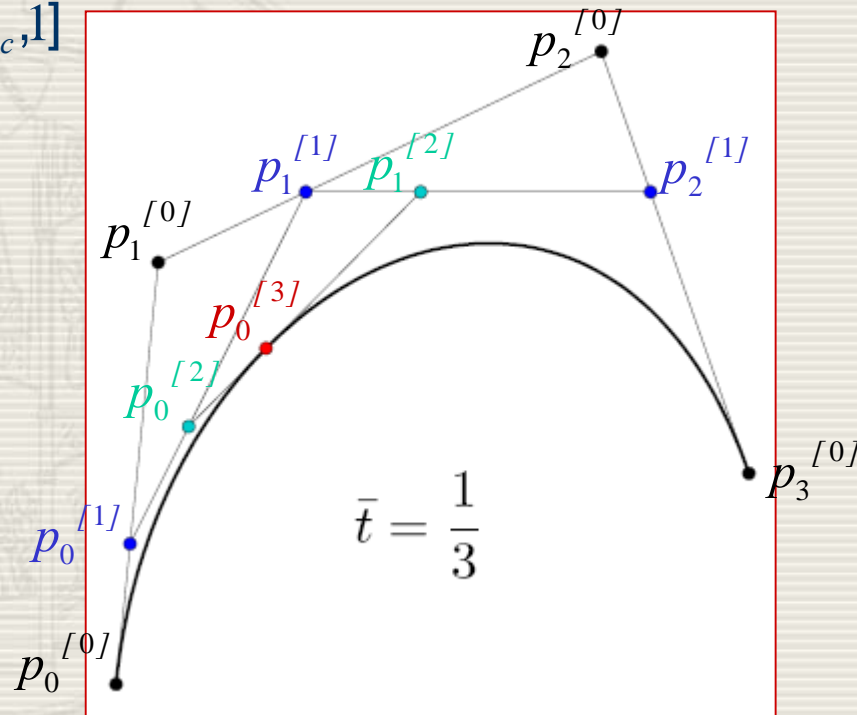
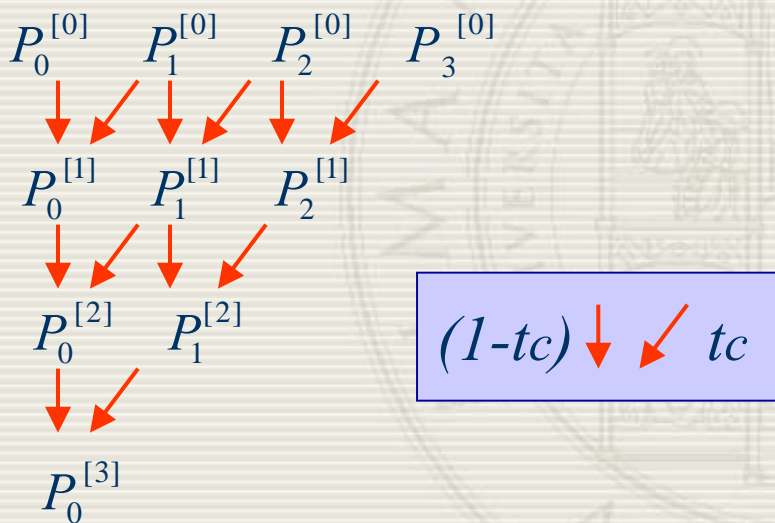
$$\mathbf{p}_3 = (3,0,0), \quad \mathbf{p}_2 = \mathbf{p}_3 - 5/3 V_1 = (3,0,0)$$



# Le Curve di Bézier e la Suddivisione

La definizione o algoritmo di valutazione di de Casteljau di una curva di Bézier in corrispondenza di un punto  $t_c$ , fornisce oltre al valore della curva anche i punti di controllo delle curve di Bézier corrispondenti agli intervalli  $[0, t_c]$  e  $[t_c, 1]$

Vediamo nel caso  $n=3$ :

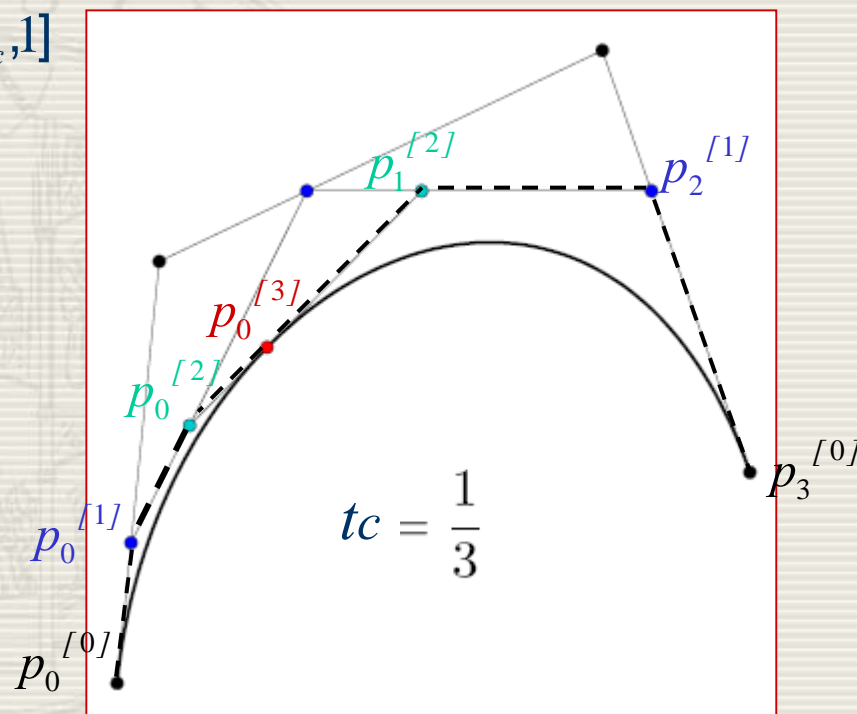
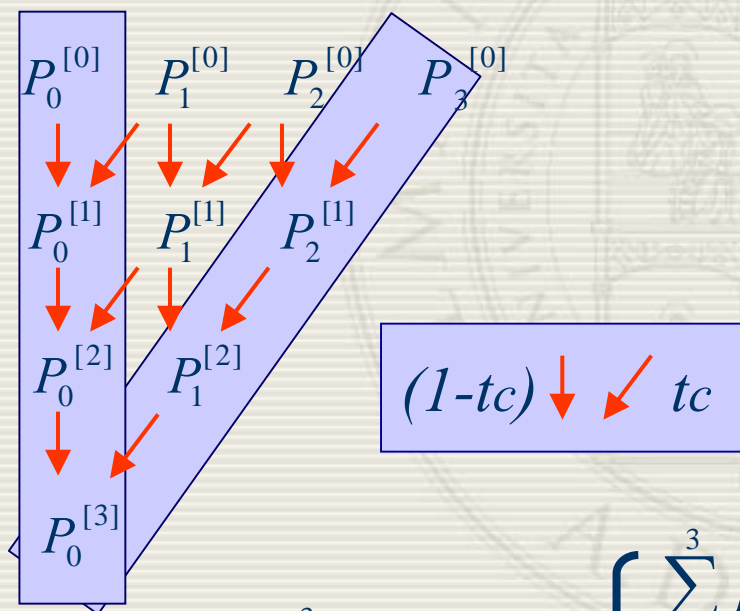


$$C(t) = \sum_{i=0}^3 p_i^{[0]} B_{i,3}(t) = \begin{cases} \sum_{i=0}^3 p_i^{[0]} B_{i,3}(t) & t \in [0, t_c] \\ \sum_{i=0}^3 p_i^{[3-i]} B_{i,3}(t) & t \in [t_c, 1] \end{cases}$$

# Le Curve di Bézier e la Suddivisione

La definizione o algoritmo di valutazione di de Casteljau di una curva di Bézier in corrispondenza di un punto  $t_c$ , fornisce oltre al valore della curva anche i punti di controllo delle curve di Bézier corrispondenti agli intervalli  $[0, t_c]$  e  $[t_c, 1]$

Vediamo nel caso  $n=3$ :



$$C(t) = \sum_{i=0}^3 p_i^{[0]} B_{i,3}(t) = \begin{cases} \sum_{i=0}^3 p_0^{[i]} B_{i,3}(t) & t \in [0, t_c] \\ \sum_{i=0}^3 p_i^{[3-i]} B_{i,3}(t) & t \in [t_c, 1] \end{cases}$$

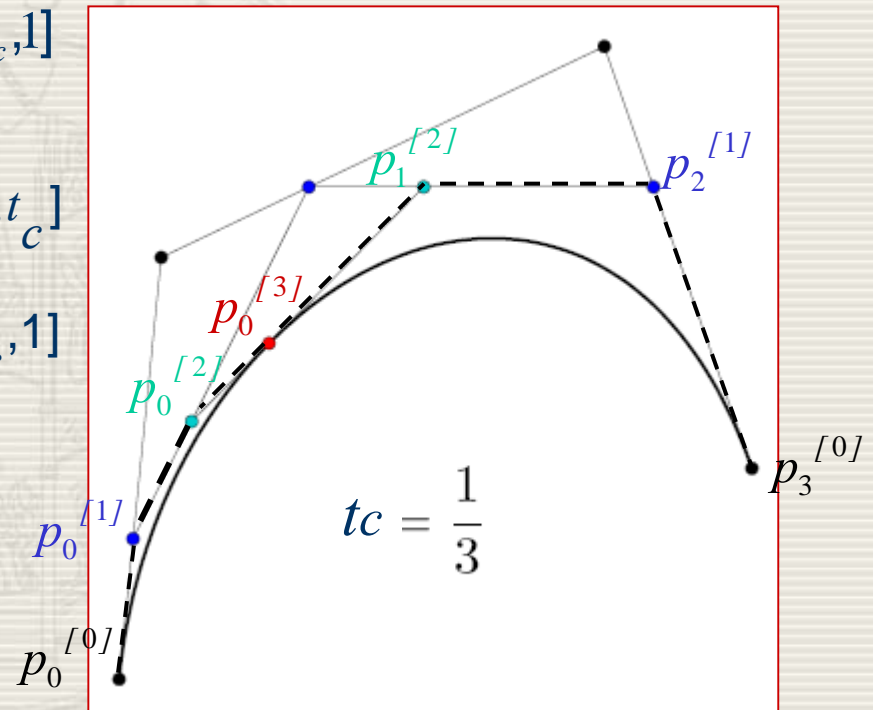


# Le Curve di Bézier e la Suddivisione

La definizione o algoritmo di valutazione di de Casteljau di una curva di Bézier in corrispondenza di un punto  $t_c$ , fornisce oltre al valore della curva anche i punti di controllo delle curve di Bézier corrispondenti agli intervalli  $[0, t_c]$  e  $[t_c, 1]$

$$C(t) = \sum_{i=0}^3 p_i^{[0]} B_{i,3}(t) = \begin{cases} \sum_{i=0}^3 p_0^{[i]} B_{i,3}(t) & t \in [0, t_c] \\ \sum_{i=0}^3 p_i^{[3-i]} B_{i,3}(t) & t \in [t_c, 1] \end{cases}$$

La suddivisione permette di calcolare in modo semplice la tangente alla curva in ogni punto



$$C'(t_c) = n(p_0^{[n]} - p_0^{[n-1]}) = n(p_1^{[n-1]} - p_0^{[n]})$$

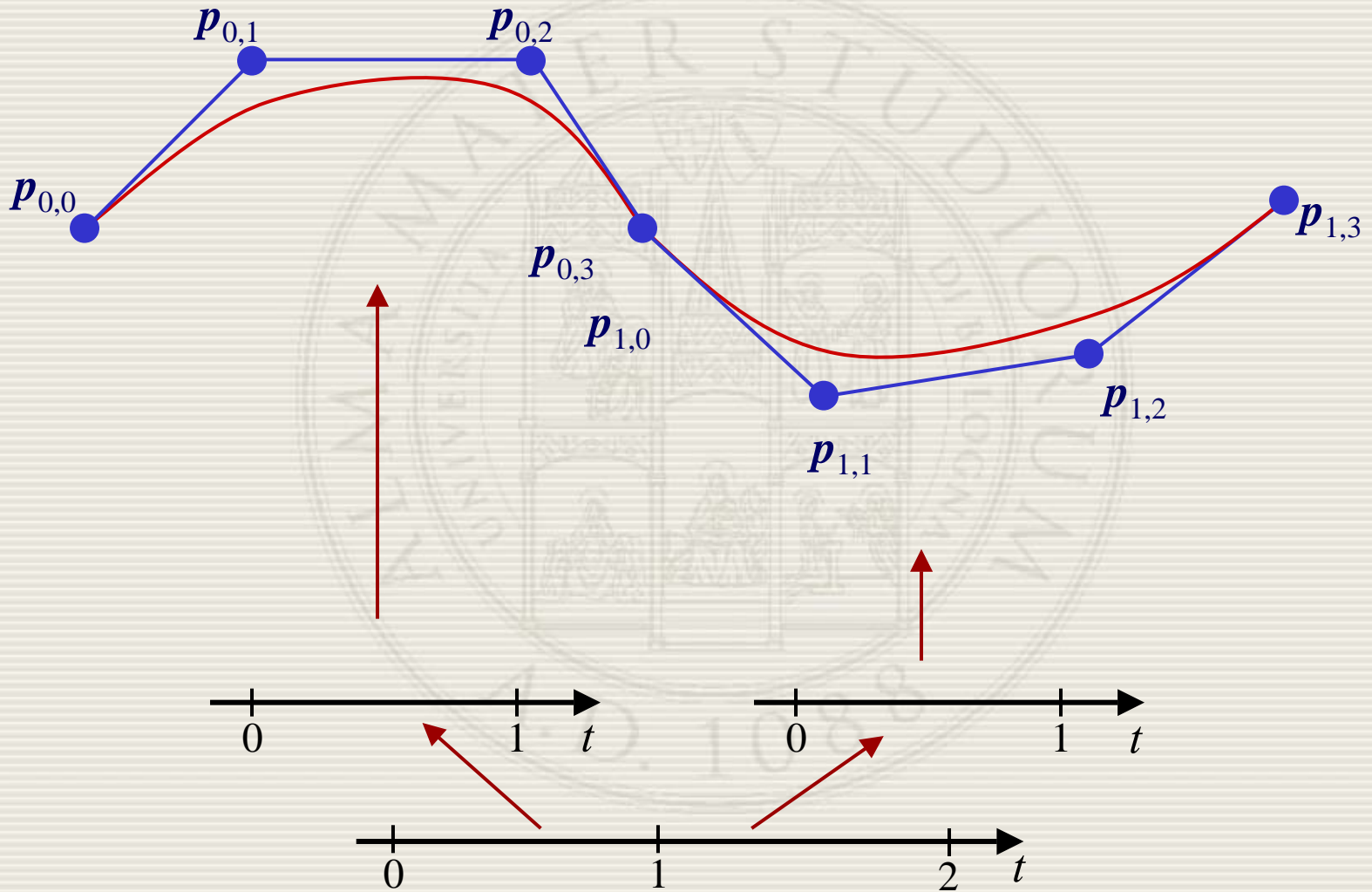
# Rendering Curve di Bézier

- Ricordiamo che una curva di Bézier giace interamente nel guscio convesso dei suoi punti di controllo
- Se i punti di controllo sono quasi allineati, allora il guscio convesso è quasi un segmento che approssima bene la curva
- Ancora, una curva di Bézier può essere divisa in due curve di Bézier più piccole che rappresentano esattamente la curva originale
- Questo suggerisce il seguente **algoritmo di disegno**:
  - dividi ricorsivamente la curva in due sotto-curve (**algoritmo di suddivisione**)
  - ferma il processo quando i punti di controllo di ogni sotto-curva sono quasi allineati
  - disegna il segmento di estremi il primo ed ultimo punto di controllo

# Curve Complesse

- Una singola curva di Bézier può rappresentare solo una limitata gamma di forme
- Una soluzione potrebbe essere aumentare il grado
  - questo aumenta le possibilità, ma al costo di più punti di controllo e polinomi di grado maggiore
  - il controllo è globale; un punto di controllo influenza l'intera curva
- In alternativa, la soluzione più comune è unire insieme più curve di Bézier di grado basso in una *piecewise curve (curva a tratti)*
  - una curva complessa in forma, può essere pensata in più tratti, ciascuno dei quali rappresentabile con una curva di Bézier di grado basso (per es. cubica)
  - *Controllo Locale*: ogni punto di controllo influenza solo una parte limitata della curva
  - L'interazione e la modellazione sono più semplici

# Curva di Bézier a tratti



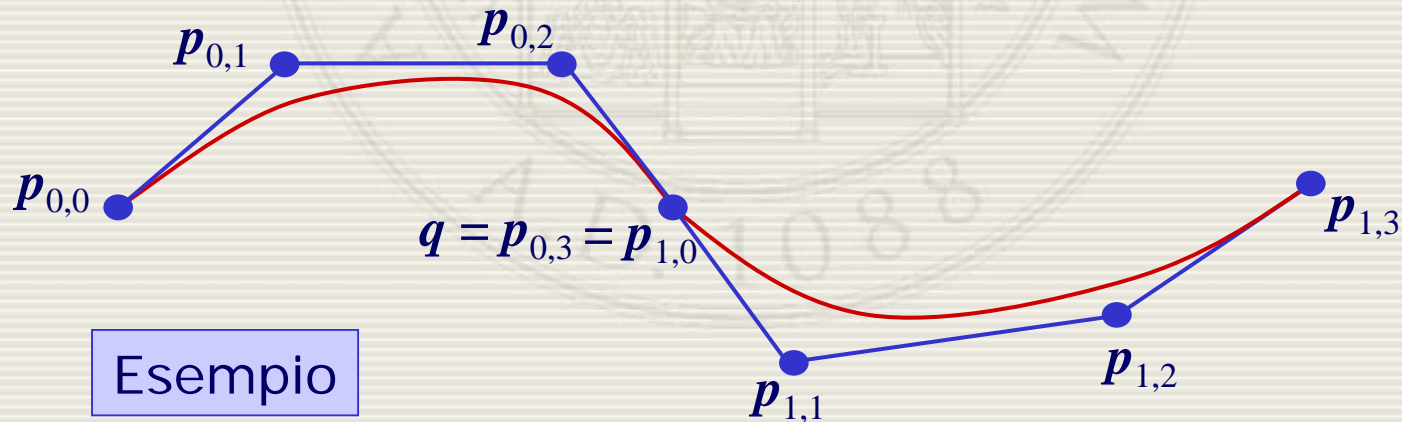
# Continuità

- Quando due curve vengono unite, solitamente si vuole un ordine di continuità negli estremi:
  - $C^0$ , "C-zero", continuità point-wise, le curve condividono lo stesso punto dove si uniscono
  - $C^1$ , "C-one", continuità della derivata, le curve hanno la stessa derivata parametrica dove si uniscono
  - $C^2$ , "C-two", continuità della derivata seconda, le curve hanno la stessa derivata seconda dove si uniscono
  - $C^k$  possibile continuità più alta
- Come facciamo ad assicurare che due curve di Bézier siano  $C^0$ ,  $C^1$ ,  $C^2$  dove si uniscono?



# Imporre la Continuità: esempio

- Curve di Bézier cubiche:
  - Per definizione interpolano i loro punti di controllo estremi, quindi si ha  $C^0$  semplicemente uguagliando i punti di controllo estremi:  $\mathbf{q} = \mathbf{p}_{0,3} = \mathbf{p}_{1,0}$
  - La continuità  $C^1$  si ottiene ponendo  $\mathbf{q} = \mathbf{p}_{0,3} = \mathbf{p}_{1,0}$ , e facendo sì che  $\mathbf{p}_{0,2}$ ,  $\mathbf{q}$  e  $\mathbf{p}_{1,1}$  siano allineati, e precisamente  $\mathbf{q} - \mathbf{p}_{0,2} = \mathbf{p}_{1,1} - \mathbf{q}$
  - La continuità  $C^2$  viene da ulteriori condizioni su  $\mathbf{p}_{0,1}$  e  $\mathbf{p}_{1,2}$





# Problemi con Curve di Bézier

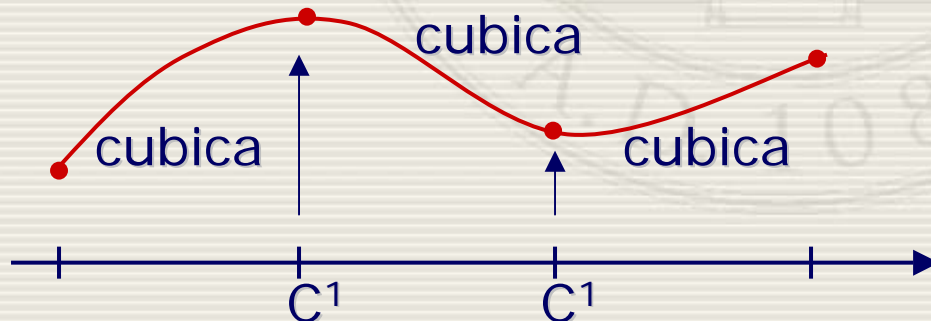
- Una curva complessa richiede molti segmenti di curve di Bézier
- Mantenere la continuità richiede vincoli sulla posizione dei punti di controllo
  - L'utente non può muovere arbitrariamente i punti di controllo e automaticamente mantenere la continuità
  - I vincoli devono essere mantenuti esplicitamente
  - Non risulta intuitivo gestire punti di controllo che risultano vincolati

# Curva di Bézier a tratti

Si noti che nel caso  $C^0$ , la curva di Bézier a tratti dell'esempio resta definita da 7 CP (1 in meno);  
nel caso  $C^1$ , la curva resta definita da 6 CP (2 in meno), e così via.

Allora se si vuole costruire una curva a tratti con una assegnata continuità è semplice determinare la dimensione dello spazio relativo o in altre parole quante infinità di curve si avranno.

**Esempio:** se si vuole progettare una curva a 3 tratti cubici, con continuità  $C^1$  in ogni punto di raccordo, avremo  $3 \times 4 - 4$ , cioè 8 gradi di libertà od anche uno spazio di dimensione 8.



$n$ =grado polinomi  
 $k$ =ordine di continuità  
con  $k < n$

# Dai Polinomi alle Spline

Definito il numero di tratti  $(N+1)$ , il grado  $n$  dei polinomi e l'ordine di continuità  $k_i$   $i=1, \dots, N$  (con  $k_i < n$ ) in ogni punto di raccordo, allora resta definito uno spazio funzionale  $S$ , che chiameremo **spazio spline**, e la sua dimensione è:

$$\dim(S) = (n+1)(N+1) - \sum_{i=1}^N (k_i + 1)$$

E' possibile determinare una base, tipo Bernstein, per questo spazio polinomiale a tratti?

Sì e si chiama base delle funzioni **B-spline**.

Le curve spline sono funzioni vettoriali le cui componenti sono funzioni scalari di uno spazio spline

# Curve Spline

- Le curve spline sono, più semplicemente, una rappresentazione matematica compatta di curve polinomiali di grado  $n$  a tratti definite su una sequenza di intervalli parametrici, detta **partizione nodale**

Definiamo una partizione nodale di  $[a,b]$  con una sequenza di punti  $x_i$  detti **nodi**, tali che:

$$x_0 = a < x_1 < x_2 < \dots < x_N < x_{N+1} = b$$



- Ci sono molti tipi di curve spline: possono essere differenti per grado (lineare, quadratica, cubica, ...) e partizione nodale (uniforme o non-uniforme)
- In genere l'ordine di continuità  $k_i$  è definibile arbitrariamente da nodo a nodo ( $k_i < n$ ); spesso ci si limita a spline con massimo ordine di continuità ossia  $k_i = n-1$  per ogni  $i=1, \dots, N$ , allora
  - spline lineari  $C^0$ , quadratiche  $C^1$ , cubiche  $C^2$ , ecc.
  - tale spazio avrà dimensione  $N + n + 1$

# Curve Spline

- L'espressione matematica rassomiglia a quella di una curva di Bézier, ma con funzioni B-spline definite sulla partizione estesa di nodi

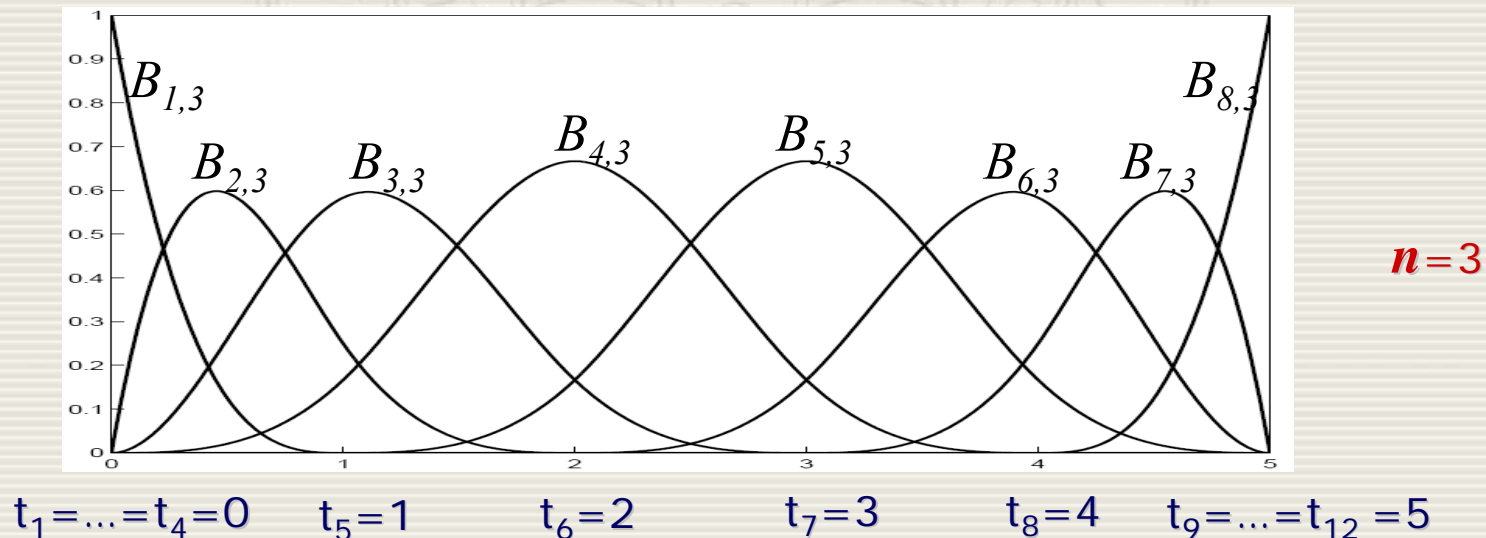
$$\{t_i\}_{i=1, \dots, N+2(n+1)}$$

tale che:

$$t_1 = \dots = t_{n+1} = x_0, \quad t_{n+1+i} = x_i, \quad i=1, \dots, N, \quad t_{N+n+2} = \dots = t_{N+2(n+1)} = x_{N+1}$$



le funzioni B-spline  $B_{i,n}(t)$  sono a **supporto compatto**, cioè sono nulle fuori dell'intervallo  $[t_i, t_{i+n+1}]$  con  $n$  il grado polinomiale



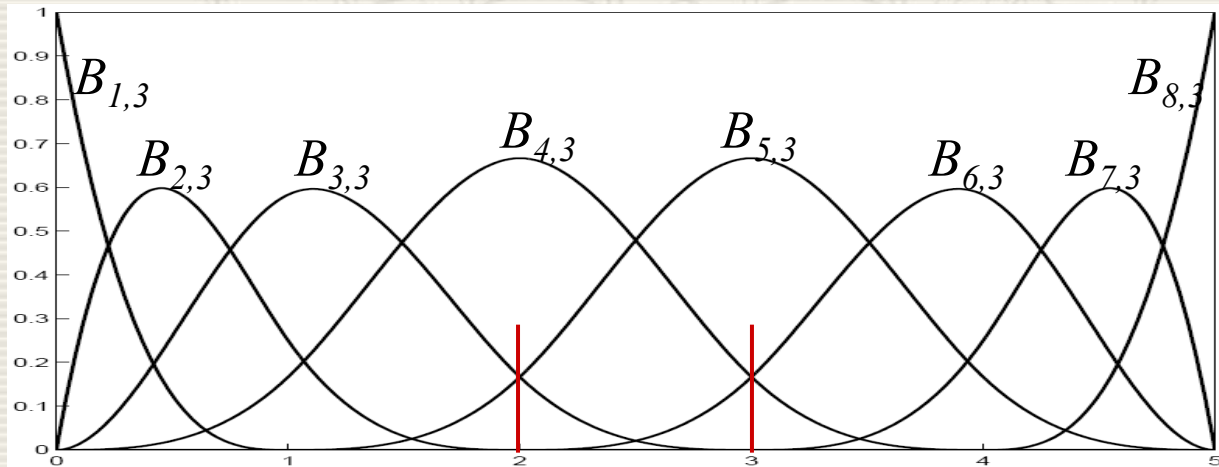


# Curve Spline

Sono ancora chiamate *blending functions*, e descrivono come miscelare (blend) i punti di controllo per dar luogo alla curva

$$C(t) = \sum_{i=1}^{N+n+1} p_i B_{i,n}(t)$$

Se ci restringiamo ad un intervallo nodale, per esempio  $[2,3]$ , per il fatto che sono a supporto compatto, le uniche B-spline non nulle saranno in numero di  $n+1$  (4 nell'esempio) e per l'esattezza le  $B_{i,3}(t)$  per  $i=3,4,5,6$ ;



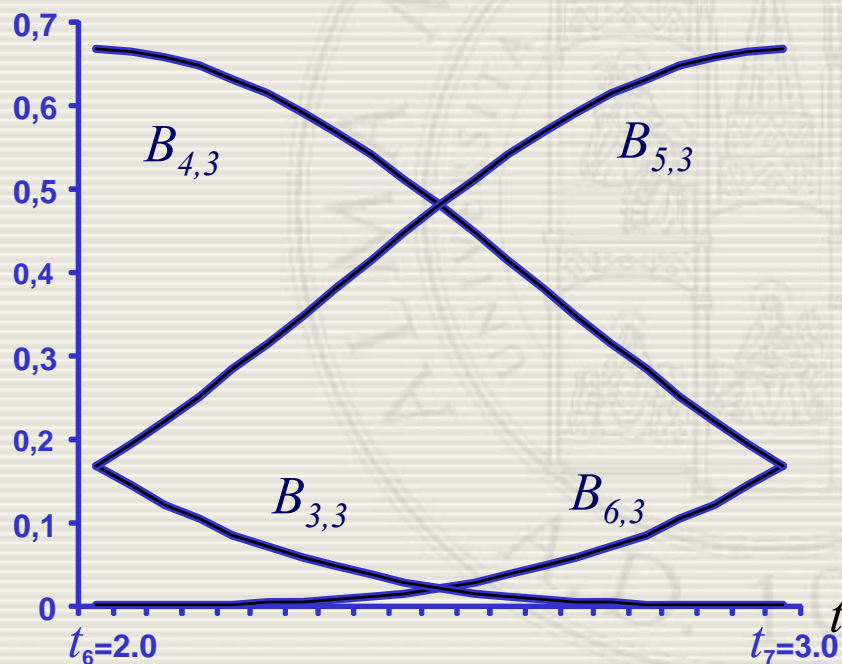
$n=3$

$t_1 = \dots = t_4 = 0$     $t_5 = 1$     $t_6 = 2$     $t_7 = 3$     $t_8 = 4$     $t_9 = \dots = t_{12} = 5$

# Valutazione di Curve Spline

L'osservazione precedente permette di valutare in modo efficiente una curva spline.

Assegnato il parametro  $t$ , si determina l'intervallo nodale in cui è contenuto, sia  $[t_k, t_{k+1}]$ , quindi:



$$C(t) = \sum_{i=k-n}^k p_i B_{i,n}(t) \\ = \sum_{i=3}^6 p_i B_{i,n}(t)$$

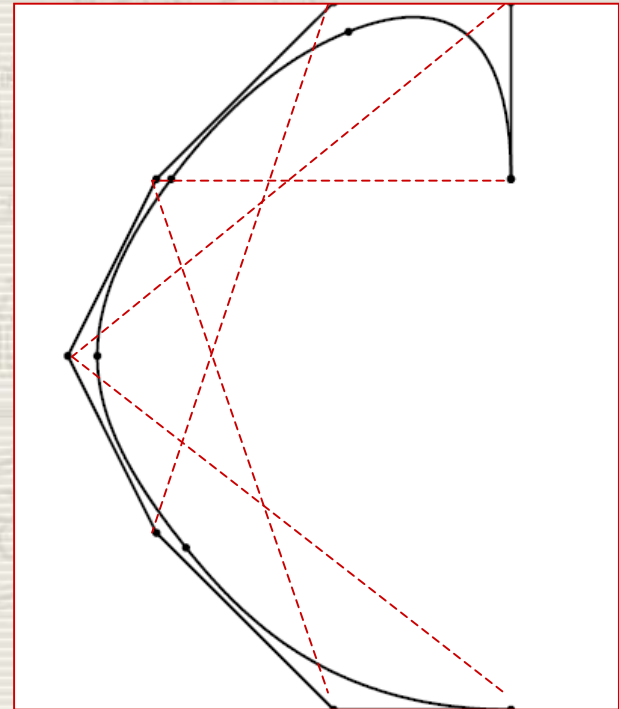
Cioè la valutazione di un punto della curva spline costa come la valutazione di una curva di Bézier a partire da  $n+1$  punti di controllo.

Si dice che le curve spline sono a **controllo locale**



# Curve Spline

- La curva spline giace all'interno del guscio convesso? interpola gli estremi?
- Le funzioni B-spline hanno somma 1 e sono non negative;
  - La curva è quindi sempre interna al guscio convesso dei suoi punti di controllo
  - La curva ha la proprietà del guscio convesso locale, cioè ogni tratto è interno al guscio convesso dato dagli  $n+1$  punti di controllo che lo definiscono.
- La curva interpola i suoi estremi
- La curva è approssimante in forma della poligonale
- La curva è invariante per trasformazioni affini



# Curva Spline Non Uniforme: riassumiamo

- Curva spline:

$$C(t) = \sum_{i=1}^{N+n+1} p_i B_{i,n}(t)$$

- $N+n+1$  è il numero totale di punti di controllo
- $n$  è il grado della curva
- $B_{i,n}$  sono le B-spline non uniformi (*blending functions*) di grado  $n$
- $p_i$  sono i punti di controllo
- Ciascuna  $B_{i,n}$  è non nulla solo in un certo intervallo  $[t_i, t_{i+n+1}]$ , detto supporto, così che la curva ha controllo locale

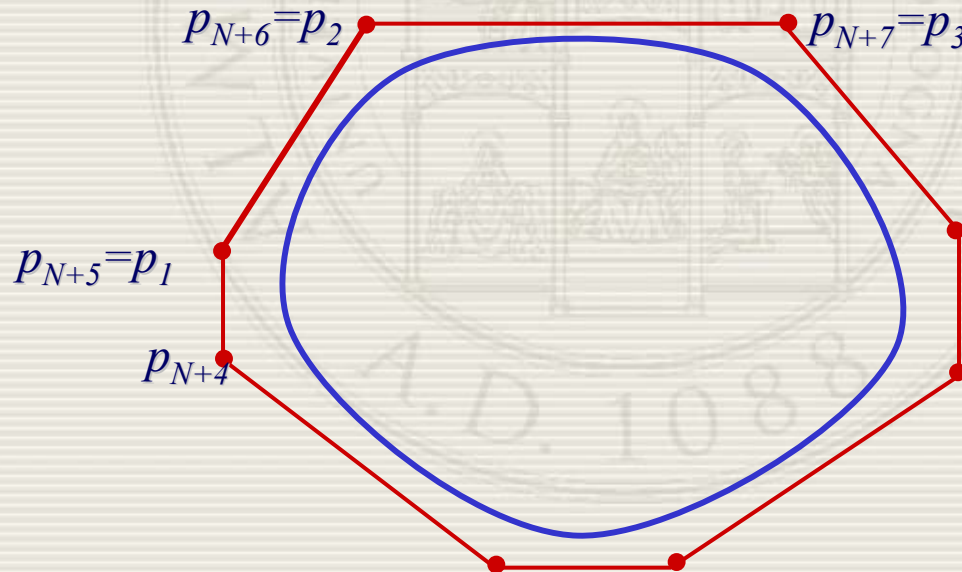
# Curva Chiusa

- Per creare una curva spline chiusa, si replichino i primi punti di controllo alla fine della sequenza:

$$p_1, \dots, p_{N+n+1}, p_1, p_2, p_3 \quad (\text{esempio } n=3)$$

se ne devono replicare tanti quanto il grado della curva;

- Inoltre si deve definire una partizione nodale estesa periodica.



# Algoritmo di Valutazione di de Boor (curve spline)

Siano dati i punti di controllo  $p_i$   $i = 1, \dots, N + n + 1$  della curva  $C(t)$  ( $n$  il grado polinomiale) e la partizione estesa di nodi

$$\{t_i\}_{i=1, \dots, N+2(n+1)} \quad [a, b] = [t_{n+1}, t_{N+1}]$$

Si vuole valutare la curva  $C(t)$  per  $t \in [t_l, t_{l+1}]$   $l \in \{n+1, \dots, N\}$

$$\mathbf{p}_i^{[r]}(t) = (1 - \alpha_i^{[r]})\mathbf{p}_{i-1}^{[r-1]}(t) + \alpha_i^{[r]}\mathbf{p}_i^{[r-1]}(t)$$

$$r = 1, \dots, n$$

$$i = l - n + r, \dots, l$$

$$\alpha_i^{[r]} = \frac{t - t_i}{t_{i+n+1-r} - t_i}$$

$$\mathbf{p}_i^{[0]}(t) = \mathbf{p}_i$$

$$i = 1, \dots, N + n + 1$$

$$\begin{array}{ccccccc} \mathbf{p}_1^{[0]} & \dots & \mathbf{p}_{l-n}^{[0]} & \mathbf{p}_{l-n+1}^{[0]} & \dots & \mathbf{p}_l^{[0]} & \dots & \mathbf{p}_{N+n+1}^{[0]} \\ & & & \mathbf{p}_{l-n+1}^{[1]} & & \mathbf{p}_l^{[1]} & & \\ & & & \mathbf{p}_{l-n+2}^{[2]} & & \mathbf{p}_l^{[2]} & & \\ & & & & & & & \mathbf{p}_l^{[n]} = C(t) \end{array}$$

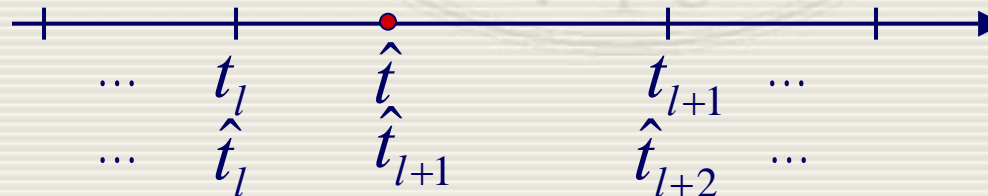
# Knot-insertion

Data una curva spline  $C(t)$  in uno spazio spline  $S$  è possibile rappresentarla esattamente in uno spazio spline  $\hat{S}$  ottenuto da  $S$  per inserzione di un nodo  $\hat{t} \in [t_l, t_{l+1})$

Se  $\{t_i\}_{i=1, \dots, N+2(n+1)}$  è la partizione estesa in  $S$ , sia

$\{\hat{t}_i\}_{i=1, \dots, N+2(n+1)}$  la partizione estesa in  $\hat{S}$  dove

$$\hat{t}_i = \begin{cases} t_i & i \leq l \\ \hat{t} & i = l+1 \\ t_{i-1} & i > l+2 \end{cases}$$



# Knot-insertion: Algoritmo di Bohm

Sia

$$C(t) = \sum_{i=1}^{N+n+1} p_i B_{i,n}(t)$$

la curva spline in  $S$ , allora per knot-insertion sarà

dove

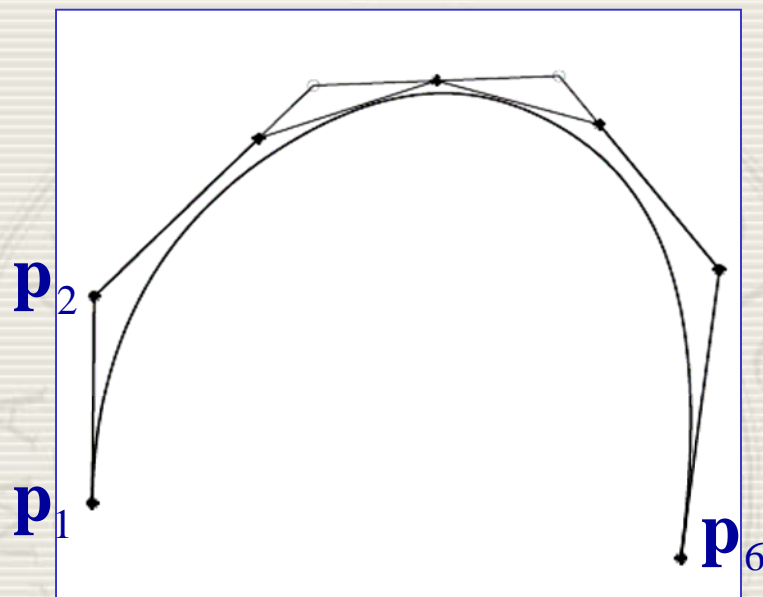
$$C(t) = \sum_{i=1}^{N+n+2} \hat{p}_i B_{i,n}(t)$$

$$\hat{p}_i = \begin{cases} p_i & i \leq l-n \\ (1-\lambda_i)p_{i-1} + \lambda_i p_i & l-n+1 \leq i \leq l+1 \\ p_{i-1} & i > l+1 \end{cases}$$

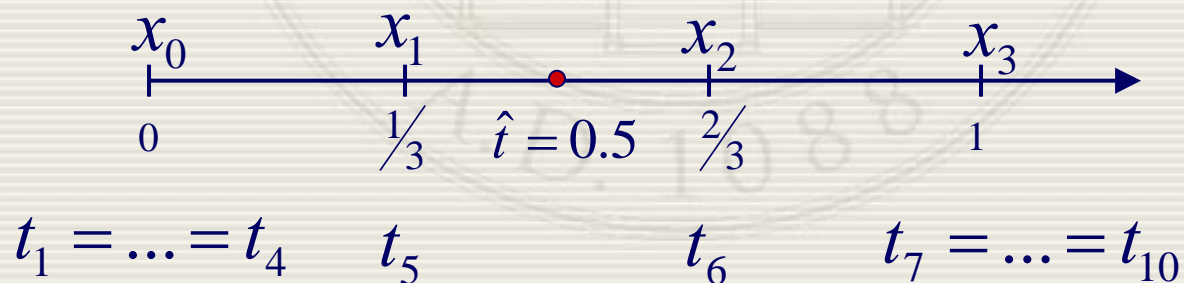
$$\text{con } \lambda_i = \frac{\hat{t} - t_i}{t_{i+n+1} - t_i} \quad \hat{t} \in [t_l, t_{l+1})$$



# Knot-insertion : Algoritmo di Bohm



$$n = 3, N = 2, N + n + 1 = 6$$

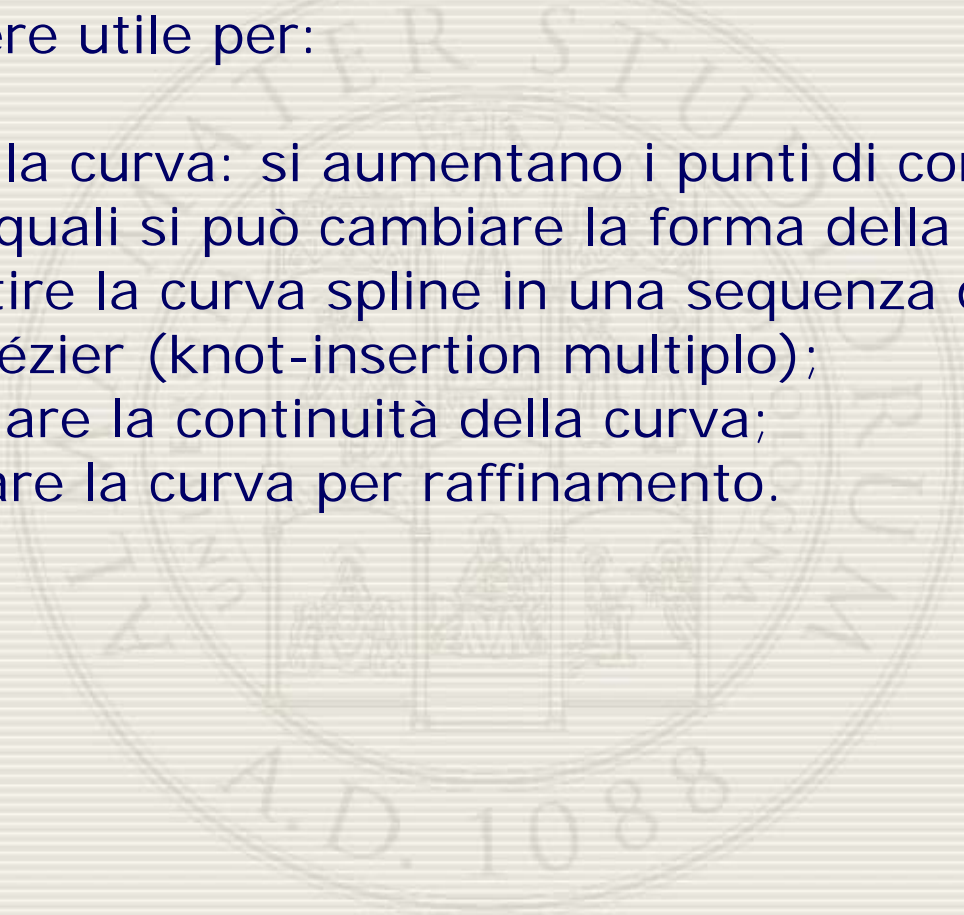




# Knot-insertion

L'algoritmo di knot-insertion non modifica la curva e può essere utile per:

- Editare la curva: si aumentano i punti di controllo con i quali si può cambiare la forma della curva;
- Convertire la curva spline in una sequenza di curve di Bézier (knot-insertion multiplo);
- Controllare la continuità della curva;
- Disegnare la curva per raffinamento.



# Knot-insertion : raffinamento

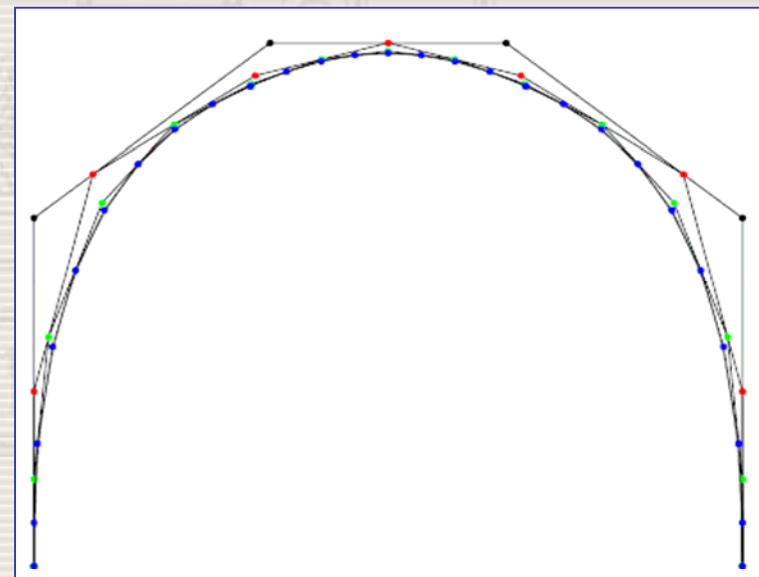
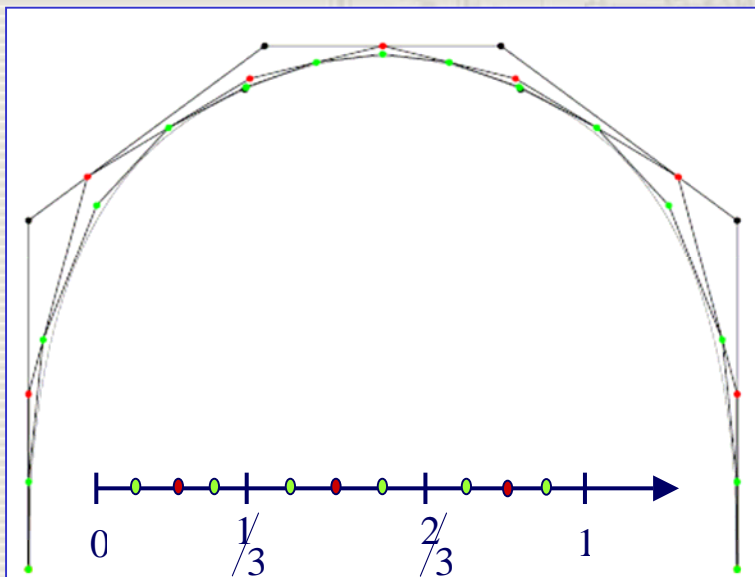
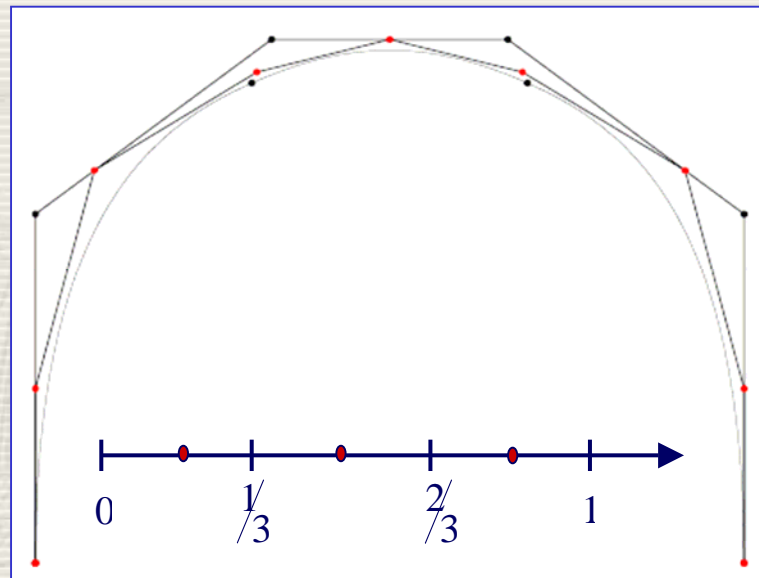
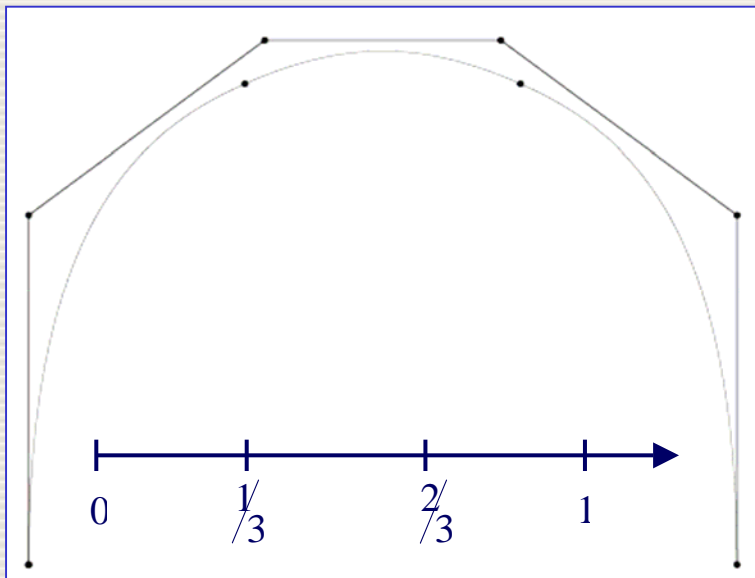
Con raffinamento si intende il processo di inserire un nodo in ogni intervallo nodale e più precisamente in corrispondenza del suo punto medio.

Così facendo la poligonale di controllo della curva viene modificata in una poligonale con più punti di controllo e più prossima alla curva (il knot-insertion è un corner-cutting algorithm);

Ripetendo il procedimento di raffinamento più volte si ottiene una successione di poligoni di controllo che converge alla curva stessa (convergenza alla curva);

Dopo un certo numero finito di passi, la poligonale è così prossima alla curva che può essere disegnata in sua vece.

# Knot-insertion : raffinamento



# Curve NURBS (Razionali)

- Una curva NURBS 3D può essere vista come la proiezione di una curva spline 4D nello spazio 3D
  - Esattamente come la proiezione in uno spazio affine:

$$[x(t), y(t), z(t), w(t)] \rightarrow \left[ \frac{x(t)}{w(t)}, \frac{y(t)}{w(t)}, \frac{z(t)}{w(t)} \right]$$

- $x(t), y(t), z(t)$  e  $w(t)$  sono funzioni spline non-uniformi
- **Vantaggi:**
  - Invarianti per proiezione prospettica, così che possono essere valutate nello spazio del piano di proiezione
  - Possono rappresentare esattamente sezioni coniche: parabola, ellisse (circonferenza), iperbole
    - Le curve spline (polinomiali) possono solo approssimare le coniche